



НАНО- И МИКРОСИСТЕМНАЯ ТЕХНИКА

ISSN 1813-8586

- Нанотехнологии
- Зондовая микроскопия
- Микромашины и наносистемы
- Молекулярная электроника
- Биоактивные нанотехнологии
- Элементы датчиков и биочипы
- Микроэлектромеханические системы
- Микрооптоэлектромеханические системы
- Биомикроэлектромеханические системы

1 (168)
2014

Рисунки к статье Н. Ю. Фирсовой, А. С. Елшина, М. А. Марченковой, А. К. Болотова, М. С. Иванова, И. П. Пронина, С. В. Сенкевича, Д. А. Киселева, Е. Д. Мишиной
«Переключаемость перовскитных микрообластей пленок ЦТС, локально отожженных фемтосекундным лазером инфракрасного диапазона»

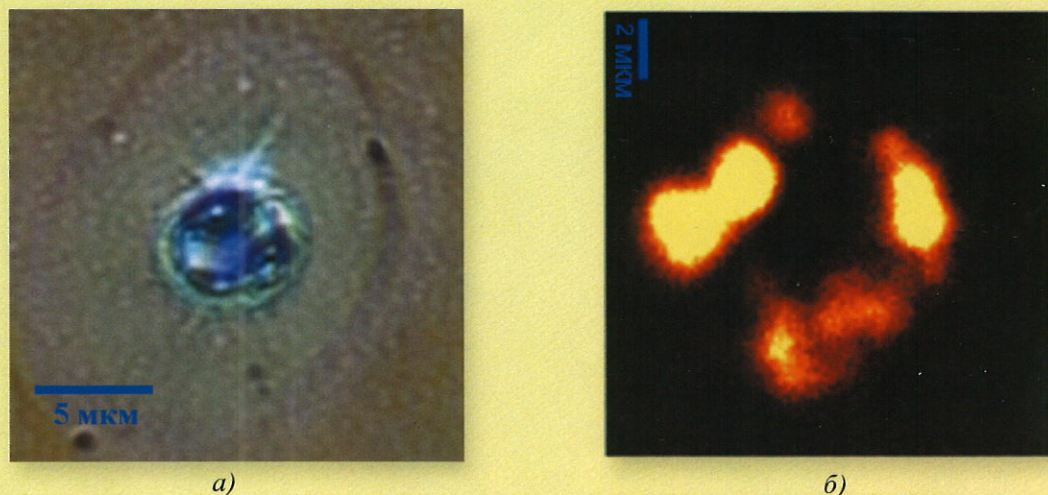


Рис. 2. Линейно-оптическое изображение (а), изображение на длине волнны ВГ (б)

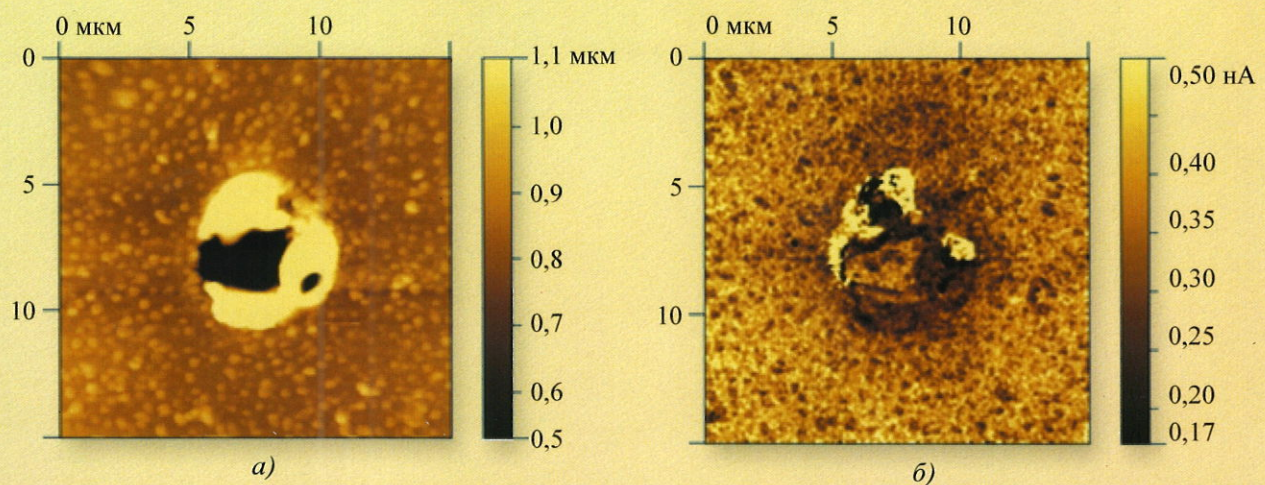


Рис. 3. ACM изображение рельефа поверхности (а) и распределение амплитуды пьезоотклика (б)

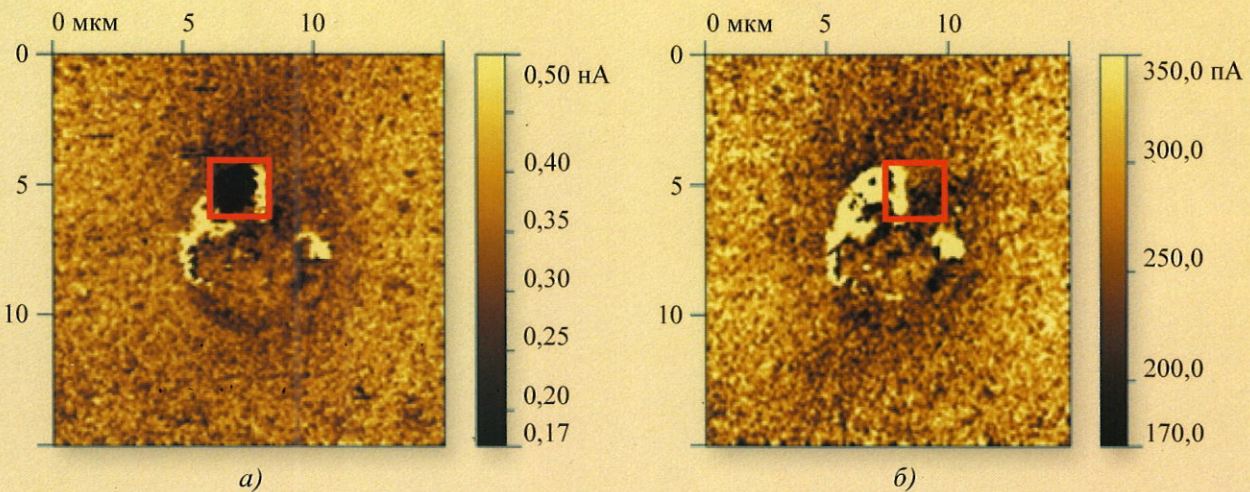


Рис. 4. Распределение амплитуды пьезоотклика после приложения к образцу постоянного напряжения – 50 В (а) и + 50 В (б). Красная рамка показывает области с противоположно направленной поляризацией

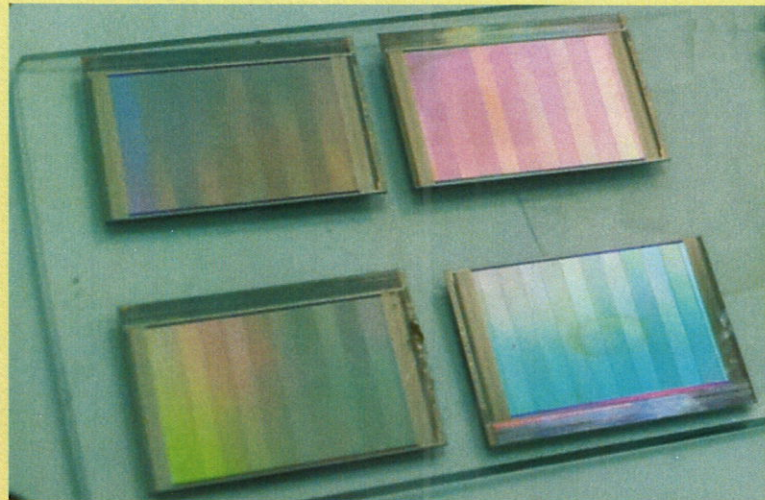


Рис. 4. Изображения кристаллов 3D package ИС после их разделения длительным воздействием дымящей азотной кислоты

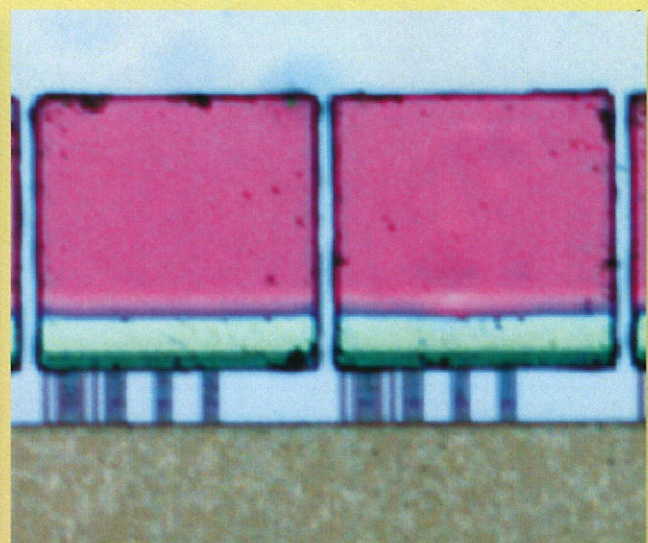


Рис. 5. Изображения фрагмента кристалла 3D package ИС до (а) и после (б) разделения кристаллов длительным воздействием дымящей азотной кислоты

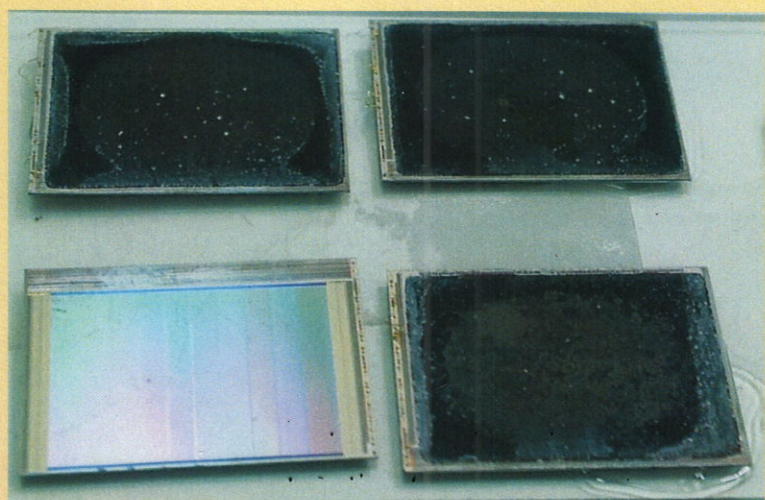


Рис. 6. Изображения кристаллов 3D package ИС после их разделения циклическим изменением температуры стековой сборки



Рис. 7. Изображения кристаллов 3D package ИС после их разделения циклическим изменением температуры стековой сборки и последующей отмычки ацетоном в УЗ ванне

Рисунки к статье Г. В. Молодцовой,
Р. А. Милованова, Д. Н. Зубова,
Е. А. Кельма

«Подходы к разделению кристаллов стековых сборок при анализе отказов многокристальных интегральных схем»

Рисунки к статье С. П. Тимошенкова, С. А. Анчутина, В. Г. Рубчица, Н. М. Зарянкина,
 А. И. Виноградова, И. С. Дернова, Е. С. Кочуриной
**«Особенности проектирования и изготовления чувствительного элемента
 микромеханического акселерометра на КНИ-структуратах»**

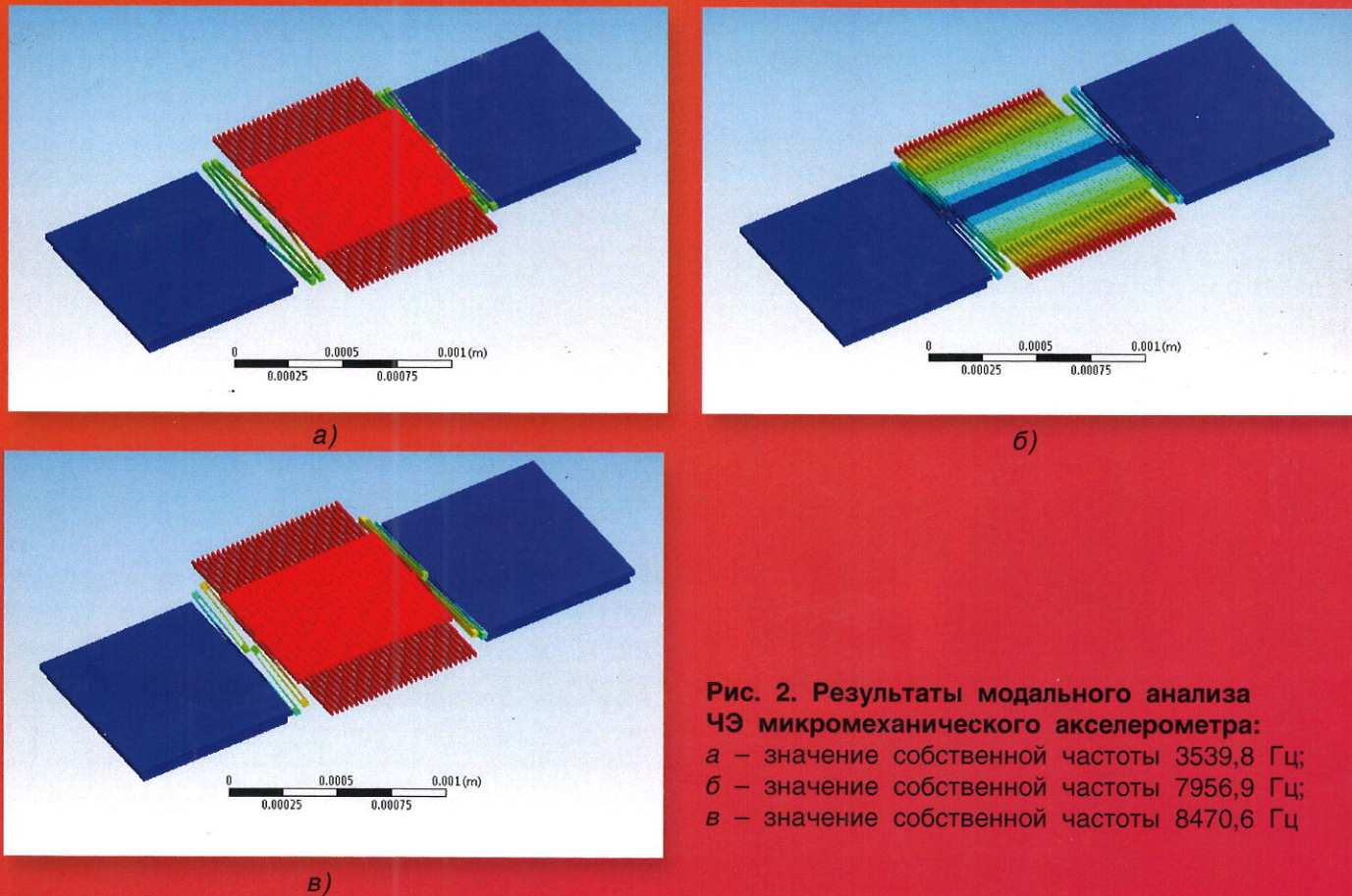


Рис. 2. Результаты модального анализа ЧЭ микромеханического акселерометра:
 а – значение собственной частоты 3539,8 Гц;
 б – значение собственной частоты 7956,9 Гц;
 в – значение собственной частоты 8470,6 Гц

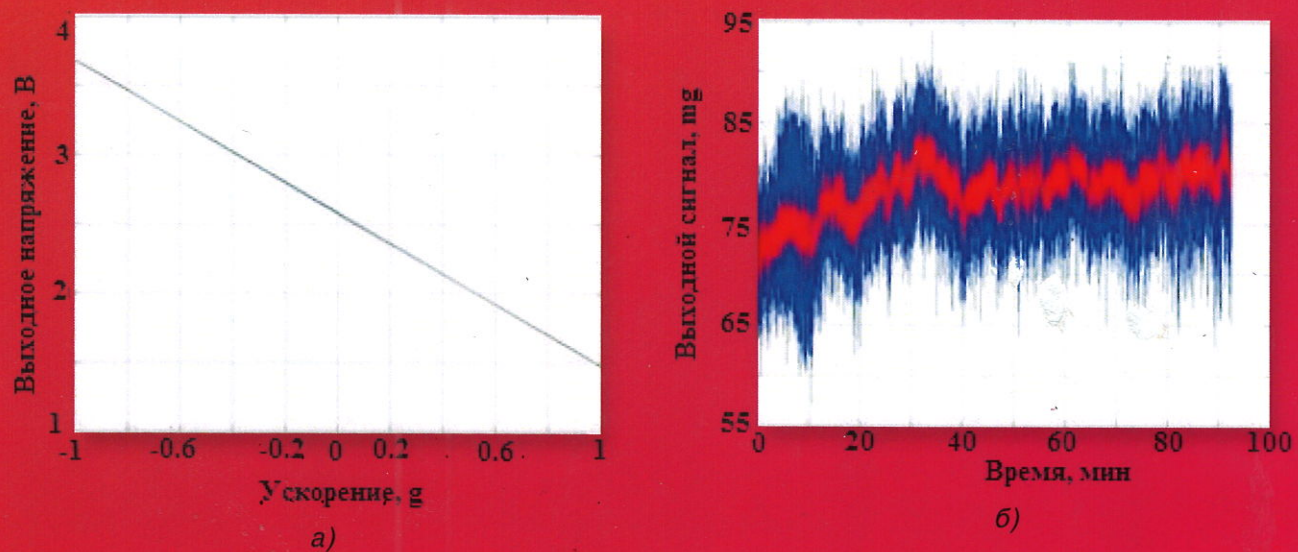


Рис. 8. Типовые результаты исследований образцов микромеханического акселерометра:
 а – статическая характеристика; б – долговременный дрейф